

## مقاومت جریان در یک رودخانه شنی - قلوه سنگی در حضور توده‌های گیاهی موضعی و شکل‌های بستر گوداب و خیزاب (مطالعه موردی: رودخانه ماربر پادنا) \*

### پژوهشی

کوروش نصرتی<sup>(۱)</sup> حسین افزلی مهر<sup>(۲)</sup> مروان حسن<sup>(۳)</sup> مسعود کاظم<sup>(۴)</sup>

**چکیده** هدف از این پژوهش برآورد مقاومت جریان در یک رودخانه شنی قلوه‌سنگی از طریق خصوصیات نیم‌رخ سرعت در حضور شکل‌های سه‌بعدی بستر گوداب و خیزاب و توده‌های گیاهی پراکنده انعطاف‌پذیر مستغرق است. برای نیل به این هدف ۳۹ نیم‌رخ سرعت در نقاط مختلف چهار بازه کاملاً مستقل رودخانه ماربر پادنا مورد بررسی قرار گرفته است. نتایج نشان می‌دهد که عمق اعتبار قانون لگاریتمی به موقعیت محل اندازه‌گیری‌ها شامل ورودی گوداب و خروجی از آن بستگی دارد. شکل غالب میزان انحراف از این قانون در ورودی گوداب به سمت بالا، در خروجی گوداب به سمت پایین و خیزاب غالباً به سمت پایین مشاهده شده است که اثر مستقیم در برآورد مقاومت جریان دارد. همچنین نتایج حاصل از بررسی مقاومت جریان حاکی از آن است که ضریب مقاومت جریان با نسبت انسداد به صورت نمایی با ضریب هم‌بستگی بزرگ‌تر از ۰/۸ در ارتباط است و نسبت انسداد می‌تواند پارامتر مناسبی در برآورد مقاومت جریان در رودخانه‌های شنی با توده‌های گیاهی پراکنده و شکل بسترهای سه‌بعدی گوداب و خیزاب باشد.

**واژه‌های کلیدی** گوداب و خیزاب، مقاومت جریان، ماربر پادنا، توده گیاهی مستغرق، قانون لگاریتمی، نسبت انسداد.

## Resistance to Flow in a Cobble-Gravel Bed River with Irregular Vegetation Patches and Pool-Riffle Bedforms (Case study: Padena Marbor River)

K. Nosrati H. Afzalimehr MA. Hassan M. Kazem

**Abstract** This study was intended to estimate resistance to flow through velocity profile characteristics in a cobble-gravel bed river with 3D-Pool-Riffle bedforms and irregular distribution of flexible-submerged vegetation patches. To this end, a total of 39 velocity profiles consisting of four independent sections of Padena Marbor River have been studied. The finding showed that the depth of validity logarithmic law depends on the location of measurements including both inlet and outlet of the Pool. The predominant form of deviation from this law is frequently observed upwards at the inlet of the Pool and downwards at the outlet of the Pool and Riffle, which has a direct effect on the estimation of resistance to flow. Moreover, the results of resistance to flow revealed that the coefficients of resistance to flow are exponentially related to blockage area with a correlation coefficient greater than 0.8. Therefore, blockage area can be a suitable parameter in estimating resistance to flow in cobble-gravel bed rivers with 3D bedforms and irregular vegetations patches.

**Key Word** Pool and Riffle, Resistance to flow, Padena Marbor River, Submerged vegetation patches, Logarithmic law, Blockage area.

\* تاریخ دریافت مقاله ۱۳۹۹/۱۲/۷ و تاریخ پذیرش آن ۱۴۰۰/۶/۲۷ و از صفحه ۳۵ تا ۵۰ می‌باشد.

(۱) دانشجوی دکتری رشته مهندسی آب و سازه‌های هیدرولیکی دانشکده مهندسی عمران دانشگاه علم و صنعت ایران.

(۲) نویسنده مسئول: استاد گروه مهندسی آب و سازه‌های هیدرولیکی دانشکده مهندسی عمران دانشگاه علم و صنعت ایران.

Email: hafzali@iust.ac.ir

(۳) استاد دانشکده جغرافیای دانشگاه بریتیش کلمبیای کانادا.

(۴) دانشجوی دکتری رشته مهندسی آب و سازه‌های هیدرولیکی دانشکده مهندسی عمران دانشگاه علم و صنعت ایران.

## مقدمه

اثر متقابل جریان و پوشش گیاهی بسیار پیچیده است و تحت تأثیر عوامل زیست محیطی و هیدرولیکی زیادی هم چون خصوصیات پوشش گیاهی، متوسط سرعت جریان، میزان آشفتگی، هندسه کانال، دمای آب، توزیع ذرات بستر و نحوه توزیع توده های گیاهی بستر رودخانه قرار دارد [1]. بررسی اثر متقابل جریان و پوشش گیاهی برای طرح های مهندسی رودخانه از اهمیت قابل توجهی برخوردار است. شرایط جریان بر نقش توده های گیاهی در انتقال رسوب، حل مواد مغذی و آلودگی های آبی، زیستگاه آبزیان و سایر عوامل زیست محیطی اثرگذار است. در مقابل شرایط و موقعیت توده های گیاهی بر عمق جریان، انتقال سیلاب، گنجایش انتقال رسوب و سایر پارامترهای هیدرولیکی و هیدرولوژیکی نیز اثرگذار است.

بررسی مطالعات مربوط به مقاومت جریان در چند دهه اخیر کانال های با پوشش گیاهی نشان می دهد که نگرش های تئوری و مفهومی زیادی در این رابطه وجود دارد [2]. یک اتفاق نظر کلی در این رابطه است که ضرایب مقاومت از قبیل ضریب مانینگ، ضریب سزی و ضریب دارسی و ایسباخ به پارامترهای جریان (عدد رینولدز، عدد فرود و عمق نسبی)، مصالح بستر (قطر ذرات)، شکل های بستر، شکل کانال و هندسه پوشش گیاهی بستگی دارند [3]. کمی سازی این وابستگی های در مطالعات هیدرولیک کمتر مورد بررسی قرار گرفته است. مطالعاتی به منظور تخمین مقاومت جریان در کانال های با پوشش گیاهی انعطاف پذیر انجام شده است [4,5]. اگرچه روابط لگاریتمی به راحتی قابل استخراج هستند، اما عواملی هم چون، تراکم گیاهی، اندازه توده های گیاهی، خصوصیات حجمی و خصوصیات سطحی پوشش گیاهی را مورد نظر قرار نمی دهند. کون و همکاران (۱۹۶۹) نسبت سطحی پوشش گیاهی به سطح کل کانال با استفاده از قانون لگاریتمی را مورد بررسی قرار دادند و نشان دادند که این رابطه نتایج قابل قبولی را ارائه می دهد. بر

این اساس روابط لگاریتمی برای بررسی جریان در بالای توده های گیاهی، کاربردی نیستند [6]. نیکورا و همکاران (۲۰۰۸) تأثیر پوشش گیاهی بر مقاومت هیدرولیکی جریان را مورد بررسی قرار دادند و روشی به منظور تخمین ضریب اصطکاک با استفاده از پارامترهای پوشش گیاهی ارائه دادند. این محققان نشان دادند که پارامترهای فیزیکی متوسط گیری شده در محل بررسی پوشش گیاهی ممکن است پارامترهای اصلی تخمین مقاومت هیدرولیکی در کانال های پوشیده از پوشش گیاهی باشند [3]. بررسی تأثیر ارتفاع پوشش گیاهی مستغرق بر مقاومت هیدرولیکی جریان توسط وانگ و همکاران (۲۰۱۰) از طریق یک رابطه خطی بین عدد رینولدز و مقاومت جریان صورت گرفته است [7]. لی و همکاران (۲۰۱۵) اظهار داشتند که در رودخانه ها، پوشش گیاهی تأثیر زیادی بر آشفتگی و اصطکاک بستر دارد [8]. زمانی که جریان در قسمت فوقانی توده های گیاهی حرکت می کند، یک لایه مرزی روی توده گیاهی شکل می گیرد. چنانچه طول توده گیاهی کوتاه باشد، جریان روی توده گیاهی کاملاً توسعه یافته نیست بلکه در حال توسعه است. سطح ناهموار بالای توده گیاهی باعث ایجاد جریان غیریکنواخت می شود که توسط توزیع سرعت غیریکنواخت قابل اندازه گیری است. جریان های توسعه یافته اغلب در قسمت فوقانی توده های گیاهی کوچک در رودخانه ها ملاحظه می شوند. اشکال بستر و حضور پوشش گیاهی انعطاف پذیر غیرمستغرق در جداره کانال تأثیر به سزایی بر ساختار جریان در رودخانه ها و مجاری روباز دارد. حضور پوشش گیاهی انعطاف پذیر غیرمستغرق در جداره کانال [9]، تأثیر پوشش گیاهی قرار گرفته بر روی شکل های بستر در رودخانه های شنی [10]، تخمین مقاومت جریان در حضور توده های گیاهی مستغرق به صورت آزمایشگاهی [11] توسط محققان انجام شده است. اما در هر صورت اثر حضور پوشش گیاهی بر ساختار جریان بر روی برخی از عوامل هیدرولیکی از جمله شکل های

بزرگ‌تر از ۱۰ محاسبه شده‌است. شکل (۱) بازه‌های انتخابی برای اندازه‌گیری داده‌ها در رودخانه ماربر پادنا را نشان می‌دهد. به‌منظور برداشت مختصات و مقادیر ارتفاعی بستر از دوربین نقشه‌برداری توتال استیشن استفاده شده‌است.



شکل ۱ بازه‌های برداشت داده در رودخانه ماربر پادنا

جدول (۱) مشخصات هندسی شکل‌های بستر گوداب و خیزاب شامل طول شکل بستر (فاصله تاج تا تاج)، عرض متوسط شکل بستر، قطر متوسط ذرات بستر در هر بازه، شیب ورودی گوداب، شیب خروجی گوداب و تعداد نقاط برداشت شده ارتفاعی برای ترسیم توپوگرافی بستر را نشان می‌دهد. در این جدول منظور از طول گام، طول گام نقشه‌برداری است. بدین صورت که برای نقشه‌برداری در هر بازه، ابتدا هر بازه به شبکه‌های مربعی ۰/۵ در ۰/۵ متر تقسیم‌بندی شده‌است و ارتفاع مرکز هر مربع توسط دوربین نقشه‌برداری برداشت شده‌است.

بستر گوداب (Pool) و خیزاب (Riffle) هنوز روشن نیست و میزان عمق اعتبار قانون لگاریتمی، تغییرات ثابت فون کارمن و برآورد مقاومت جریان در حضور شکل بسترهای سه‌بعدی نظیر گوداب و خیزاب در رودخانه‌های شنی دارای توزیع توده‌های گیاهی پراکنده، کمتر مورد توجه قرار گرفته‌است. هدف از این پژوهش بررسی خصوصیات نیم‌رخ سرعت در حضور شکل‌های بستر گوداب و خیزاب همراه با توده‌های گیاهی پراکنده در بستر رودخانه و ارائه رابطه نیمه‌تحلیلی مقاومت جریان است.

### منطقه مورد مطالعه و اندازه‌گیری‌ها

داده‌های مورد استفاده در این پژوهش در چهار بازه مختلف در تابستان ۱۳۹۹ از رودخانه ماربر پادنا در جنوب استان اصفهان جمع‌آوری شده‌است. بازه اول، دوم و سوم شامل شکل بسترهای بزرگ مقیاس گوداب و خیزاب است که از میان این سه بازه، بازه اول فاقد توده‌های گیاهی در بستر و بازه‌های دوم و سوم شامل توده‌های گیاهی در بستر به ترتیب در سمت راست و چپ رودخانه هستند. در مقیاس‌های کوچک قانون لگاریتمی برای نیم‌رخ‌های سرعت جوابگو نیست و از توابع توانی سرعت به جای تابع لگاریتمی بهره گرفته می‌شود. این در حالی است که در مقیاس‌های متوسط و بزرگ عمق نسبی قانون لگاریتمی سرعت به خوبی جوابگو است [2]. در این پژوهش در بازه‌های اول تا سوم عمق نسبی بزرگ‌تر از ۱۰ است و در بازه چهارم در ۶۴ درصد نقاطی که نیم‌رخ سرعت برداشت شدند، عمق نسبی کمتر از ۱۰ و در نقاط باقی‌مانده عمق نسبی

جدول ۱ ابعاد هندسی بازه‌های برداشت داده

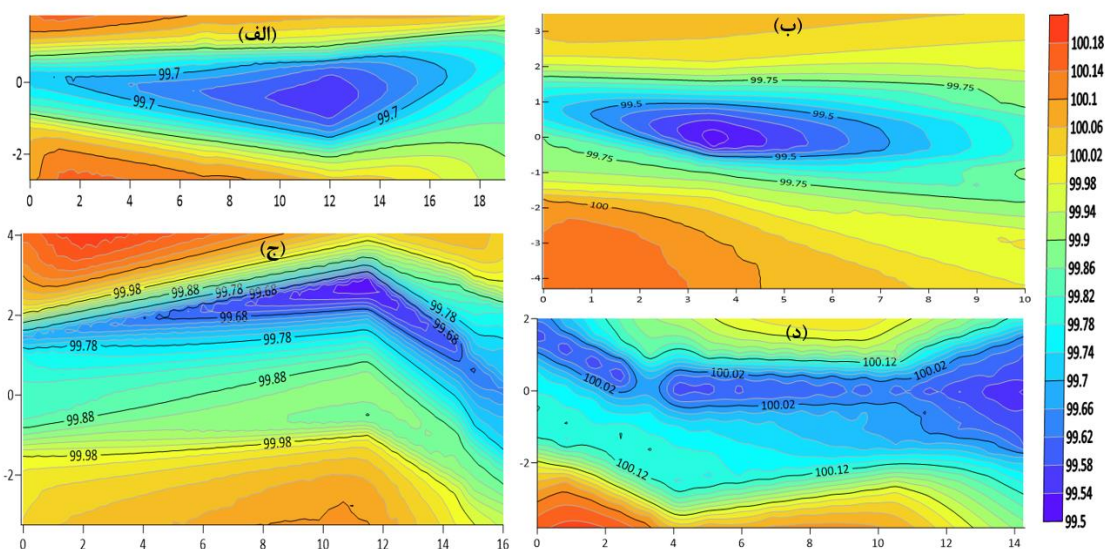
شماره بازه	طول بازه (m)	طول شکل بستر (m)	عرض متوسط شکل بستر (m)	قطر متوسط ذرات (mm)	طول گام (m)	شیب ورودی گوداب	شیب خروجی	تعداد نقاط برداشتی
۱	۱۹	۱۲	۳/۱۵	۲۳/۸	۰/۵	۰/۰۵۵	۰/۰۴۴	۵۳۰
۲	۱۰	۸/۵	۴/۳۶	۲۲/۳۲	۰/۵	۰/۱۳	۰/۰۷	۴۴۱
۳	۱۶	۱۱	۴/۹۵	۲۴/۵	۰/۵	۰/۰۴۱	۰/۰۴	۶۲۴
۴	۱۴/۲۵	-	۴/۰۴	۱۹/۸	۰/۵	-	-	۲۳۹

انجام گرفته است [12]. در سه بازه اول برداشت داده، سه دانه بندی به ترتیب در ورودی گوداب، وسط گوداب و خروجی گوداب برداشت شده است. هم چنین در بازه چهارم در چهار مقطع از پایین دست بازه به سمت بالادست بازه، منحنی دانه بندی ترسیم شده است.

جدول (۲) دانه بندی بستر را به روش شمارش شنی در بازه های برداشت داده نشان می دهد. قابل ذکر است که انحراف معیار هندسی به صورت  $\sigma_g = (d_{84}/d_{16})^{0.5}$  تعریف می شود. که  $d_{16}$  و  $d_{84}$  به ترتیب قطری از ذرات بستر هستند که ۱۶ و ۸۴ درصد ذرات از آنها کوچکتر هستند.

شکل (۲) نقشه توپوگرافی بستر را که در نرم افزار سورفر ترسیم شده است نشان می دهد. در شکل (۲-الف) می توان دریافت که عمیق ترین بخش بازه که گوداب نامیده می شود، در فاصله ۳/۸ متری از ابتدای بازه قرار گرفته است. این مقدار برای بازه های (۲-ب)، (۲-ج) به ترتیب ۳/۵، ۱۰/۵ متر از ابتدای هر بازه است. شکل (۲-د) بازه چهارم را با طول ۱۴ متر و شیب متوسط ۰/۰۳ نشان می دهد. اختلاف بین عمیق ترین و کم عمق ترین نقاط در بازه های اول، دوم، سوم و چهارم به ترتیب ۶۸، ۹۰، ۶۰ و ۴۶ سانتی متر محاسبه شده است.

برداشت دانه بندی بستر به روش ولمن (۱۹۵۴)



شکل ۲ نقشه های توپوگرافی ترسیم شده در نرم افزار سورفر

جدول ۲ دانه بندی بستر به روش شمارش شنی وولمن

شماره بازه	قطر متوسط (mm)	تعداد منحنی دانه بندی	انحراف معیار هندسی
۱	۲۰/۷-۲۸/۱	۳	۲/۴۵-۳/۱۳
۲	۲۲-۲۲/۵	۳	۲/۱۸-۳/۱۹
۳	۲۱/۹-۲۶/۲	۳	۲/۰۳-۲/۲
۴	۱۵-۲۱/۲۱	۴	۳-۲/۱۲

جدول ۳ پارامترهای هیدرولیکی محاسبه شده در بازه‌های مختلف برداشت داده

بازه	B(m)	S <sub>0</sub>	Fr	u(m/sec)	(u sec) <sub>max</sub>	Q(m <sup>3</sup> /sec)	تعداد نیم‌رخ
۱	۲/۳۶-۳/۶۳	۰/۰۱۴-۰/۰۳۷	۰/۳۴-۰/۴۸	۰/۷۵-۰/۹	۰/۸۹-۱/۳۴	۰/۷۷-۱/۳۷	۳
۲	۴/۲۲-۷/۷۹	۰/۰۲۸-۰/۱۲۸	۰/۴۴-۰/۷۴	۱/۰۱-۱/۱۷	۱/۳۵-۱/۶۸	۱/۷۹-۳/۰۹	۸
۳	۳/۶۳-۴/۸	۰/۰۱۱-۰/۰۲۲	۰/۵۴-۱/۰۹	۰/۹۸-۱/۳۶	۱/۱۷-۱/۸۲	۰/۸۵-۲/۱۸	۳
۴	۳/۸۸-۵/۸۵	۰/۰۲-۰/۰۶۵	۰/۳۸-۰/۸۵	۰/۶-۱/۰۲	۰/۷-۱/۲۵	۰/۵۴-۰/۸۷	۲۵

نوع پوشش گیاهی مستغرق انعطاف پذیر غالب که در بستر رودخانه ماربر پادنا به وفور یافت می شود نوعی جلبک است که به شکل توده های گیاهی مترکم در بستر رودخانه رشد می کند. نمونه ای از آن در شکل (۳) مشاهده می شود.

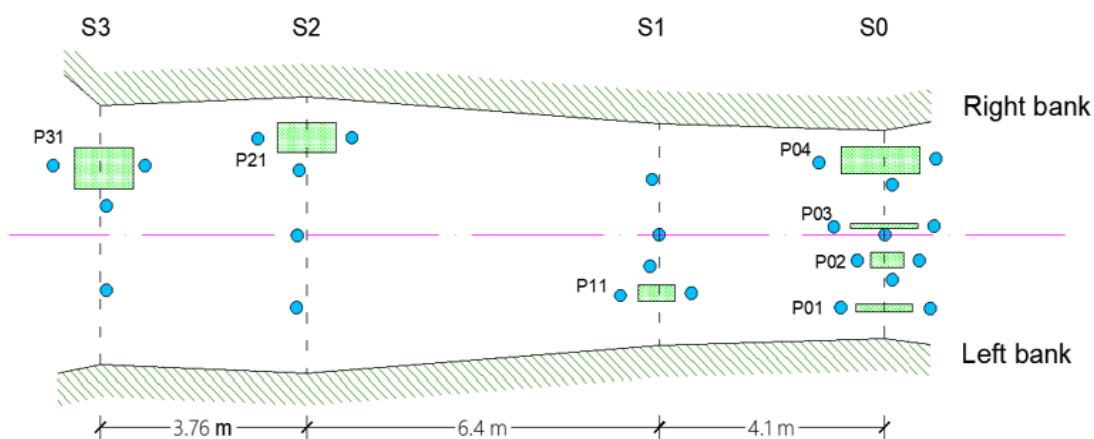


شکل ۳ اندازه گیری ابعاد توده گیاهی مستغرق توسط متر با دقت یک سانتی متر در بازه چهارم

باتوجه به این که اندازه گیری ابعاد دقیق توده گیاهی در رودخانه مشکل است، در این پژوهش تنها حداکثر طول و حداکثر عرض هر توده گیاهی توسط متر با دقت یک سانتی متر اندازه گیری شده است (شکل ۳). همان گونه که در ذیل اشاره شده است، اندازه گیری سرعت توسط میکرومولینه، در بخش های مختلف هر بازه و در اطراف توده های گیاهی به منظور ترسیم نیم رخ صورت گرفت. به طور نمونه شکل (۴) نمایش اندازه گیری از یک طول ۱۴/۲۵ متر از بازه چهارم در اطراف توده های گیاهی را نشان می دهد.

باتوجه به این که  $\sigma_g > 1.4$  توزیع ذرات به صورت کاملاً غیریکنواخت است [13]. اندازه گیری سرعت جریان به منظور ترسیم نیم رخ های سرعت توسط میکرو مولینه با دقت ۰/۱ متر بر ثانیه انجام گرفته است. مدت زمان اندازه گیری ۳۰ ثانیه و به منظور افزایش دقت آزمایشات سه بار تکرار در هر نقطه از نیم رخ سرعت جریان انجام شد. جدول (۳) خلاصه پارامترهای هیدرولیکی محاسبه شده در هر چهار بازه را نشان می دهد. در بازه اول، دوم و سوم حضور ایستگاه پمپاژ که در شکل (۱-ب) نیز مشهود است، کانال بتنی که آب آن از رودخانه اصلی تأمین می شود و حضور مزارع پرورش ماهی در بالادست بازه های برداشت داده، سبب متغیر بودن مقادیر دبی در هر بازه، علی رغم دائمی بودن جریان رودخانه است. متغیر بودن عمق در هر نقطه، غیریکنواخت بودن مصالح بستر، حضور توده های گیاهی پراکنده در بستر و متغیر بودن عرض رودخانه در هر نقطه که نیم رخ سرعت برداشت شده است، دلایل اصلی متفاوت بودن سرعت و دامنه تغییرات شیب در هر بازه است.

در جدول (۳) B عرض رودخانه، S<sub>0</sub> شیب طولی بستر،  $Fr = u/(gh_w)^{0.5}$  عدد فرود جریان در عمق متوسط جریان  $h_w$ ، u سرعت متوسط جریان،  $u_{max}$  مقدار حداکثر سرعت در هر نیم رخ، Q دبی جریان و  $g = 9.81 m/s^2$  ثابت گرانش تعریف می شود. قابل ذکر است که در مجموع ۳۹ نقطه در بخش های مختلف هر بازه به منظور ترسیم نیم رخ های سرعت، برداشت شده است.



شکل ۴ جانمایی توده‌های گیاهی مستغرق در بازه چهارم

جدول ۴ ابعاد هندسی توده‌های گیاهی در هر بازه

نام توده	$L_p^{max}$	$B_p^{max}$	$\bar{h}_p$ (m)
P1	۴	۰/۲۵	۰/۱
P2	۰/۳۲	۰/۸	۰/۳۲
P3	۱/۶	۰/۲۶۵	۰/۰۳
P01	۱/۰۵	۰/۱۳	۰/۰۵
P02	۰/۵۹	۰/۲۷	۰/۰۵
P03	۰/۲۴	۰/۰۹	۰/۰۵
P04	۱/۴۶	۰/۴۷	۰/۰۶
P11	۰/۶۷	۰/۲۹	۰/۱
P21	۱/۰۷	۰/۵۳	۰/۱۶
P31	۱/۰۸	۰/۷۲	۰/۲۱

**بحث و نتایج**

**تخمین ثابت انگرال قانون جهانی سرعت و ثابت فون کارمن**

در تئوری لایه مرزی جریان در کانال‌های روباز دو لایه مرزی آشفتگی در حالت کلی وجود دارد. در لایه مرزی آشفتنه داخلی نیم‌رخ سرعت از قانون دیوار تبعیت می‌کند و توسط رابطه (۱) بیان می‌شود:

$$\frac{u}{u_*} = \frac{1}{\kappa} \ln\left(\frac{z}{\kappa_s}\right) + B_r \tag{1}$$

که در این رابطه  $u$  سرعت متوسط جریان در عمق

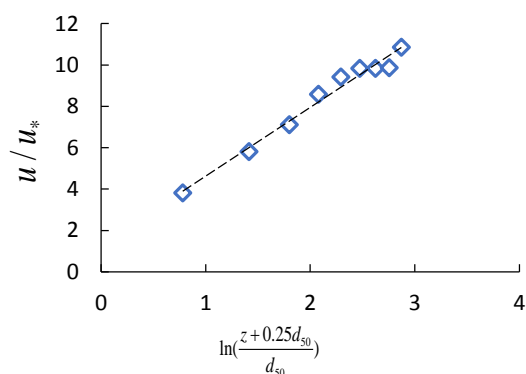
در شکل (۴) مستطیل‌های سبزرنگ توده‌های گیاهی مستغرق و نقاط دایره‌ای آبی محل‌های برداشت سرعت در بازه چهارم را نمایش می‌دهند.  $S_0$  تا  $S_3$  به ترتیب نشان‌دهنده شماره مقطع (Section) از صفر تا سه است. نشانه‌گذاری هر توده گیاهی در این بازه به صورت PXY نام‌گذاری شده‌است. به این صورت که توده گیاهی شماره Y در مقطع X قرار گرفته‌است.

به‌طور مثال P01 به معنای اولین توده گیاهی (Patch) در مقطع صفر است. سایر نمادها نیز به همین صورت تعریف می‌شوند. جدول (۴) ابعاد هندسی توده‌های گیاهی مستغرق انعطاف‌پذیر در بازه‌های شامل پوشش گیاهی (بازه‌های دوم، سوم و چهارم) را ارائه می‌دهد. در این جدول،  $L_p^{max}$  طول حداکثر،  $B_p^{max}$  عرض حداکثر و  $\bar{h}_p$  ارتفاع متوسط هر توده گیاهی را نشان می‌دهد. نام‌گذاری در بازه‌های دوم و سوم مستقل از بازه چهارم است بدین صورت که P1، P2 توده‌های گیاهی واقع در بازه دوم و P3 توده‌های گیاهی واقع در بازه سوم اندازه‌گیری هستند. لازم به ذکر است که برداشت داده‌های سرعت به فاصله ۱۰ سانتی متر از ورودی هر توده گیاهی، ۱۰ سانتی متر از خروجی توده گیاهی و ۱۰ سانتی متر در اطراف توده گیاهی صورت گرفته‌است.

اندازه‌گیری گردد [17]. براساس تمامی روابط ارائه شده فرض شده‌است که در عمق صفر، سرعت جریان صفر است و برای ارائه عمق صفر در رودخانه‌های درشت‌دانه از یک خط فرضی تحت عنوان خط مرجع استفاده می‌شود. به همین دلیل عمق اندازه‌گیری شده توسط رابطه کلی زیر اصلاح می‌شود و عمق اصلاحی ( $y_*$ ) از رابطه (۵) محاسبه می‌شود [16]:

$$y_* = y_m + a \times d_p \quad (5)$$

در این رابطه  $y_m$  اعماق اندازه‌گیری شده،  $a$  ضریب تعدیل پروفیل لگاریتمی سرعت و  $d_p$  قطر مشخصه ذرات بستر است. مقادیر متفاوتی برای  $a$  و  $d_p$  در منابع لحاظ شده‌است [14]. در این پژوهش  $a = 0.25$  و  $d_p = d_{50}$  در نظر گرفته شده‌است [14]. توزیع سرعت در ناحیه نزدیک بستر موسوم به ناحیه داخلی توسط قانون لگاریتمی (قانون دیوار) بر روی بستر شنی و قلوه‌سنگی توسط رابطه (۱) ارائه می‌شود [18]. در این پژوهش به منظور تخمین ثابت انتگرال  $B_{R-River}$  ابتدا نمودار  $u/u_*$  برحسب  $\ln((z + 0.25d_{50})/d_{50})$  برای داده‌های سرعت جریان نزدیک بستر (داده‌هایی که قانون لگاریتمی بدون انحراف بر آنها برآزش می‌یابد) ترسیم شده و یک معادله رگرسیونی به دست آمد. از مقایسه رابطه (۱) با معادله رگرسیونی حاصل مقدار  $B_{R-River}$  به دست آمد. شکل (۵) نحوه محاسبه  $B_{R-River}$  در ورودی بازه اول را نشان می‌دهد.



شکل ۵ تعیین مقادیر ثابت انتگرال و ثابت فون کارمن در ورودی بازه اول

$Z$ ،  $u_*$  سرعت برشی،  $\kappa$  ثابت فون کارمن،  $k_s$  ارتفاع زبری معادل و  $B_R$  ثابت انتگرال است. در این پژوهش ارتفاع معادل زبری بستر  $k_s = d_{50}$  است که برای هر بازه و در هر قسمتی که نیم‌رخ سرعت برداشت شده، متفاوت است.

قانون دیوار نخستین بار توسط فون کارمن (۱۹۳۰) برای نواحی نزدیک بستر (کمتر از ۲۰ درصد عمق) ارائه شده‌است. در رودخانه‌های درشت‌دانه ضخامت لایه مرزی معادل یا کمتر از عمق جریان است و به دو قسمت تقسیم می‌شود: ناحیه نخست که در نزدیکی بستر قرار دارد و در آن اثر زبری و لزجت قابل توجه است که به آن لایه داخلی گفته می‌شود. با فاصله از بستر اثر لزجت کاهش و اثر گرادیان فشار افزایش می‌یابد. از این لایه تحت عنوان لایه خارجی یاد می‌شود [14]. لایه خارجی توسط قانون سهمی بیان می‌شود که به طور مفصل توسط افصلی مهر و آنکتیل (۱۹۹۹) بررسی شده و در این مقاله به آن پرداخته نمی‌شود [15].

به منظور تجزیه و تحلیل تئوری نیم‌رخ سرعت از سرعت برشی  $u_*$  استفاده می‌شود. در این پژوهش از روش مشخصات لایه مرزی که نخستین بار توسط افصلی مهر و آنکتیل (۲۰۰۰) برای رودخانه‌های شنی ارائه شد، استفاده شده‌است [16]:

$$u_* = \frac{u_{*max}}{4.4 \times \delta_*} \quad (2)$$

که در این رابطه  $\delta_*$  و  $\theta$  به ترتیب ضخامت جابه‌جایی و ضخامت مومنتوم لایه مرزی به فاصله  $z$  از بستر هستند:

$$\delta_* = \int^f \left(1 - \frac{u}{u_{max}}\right) dz \quad (3)$$

$$\theta = \int \frac{u}{u_{max}} \left(1 - \frac{u}{u_{max}}\right) dz \quad (4)$$

هم‌چنان که در کتاب مرجع هینز (۱۹۷۵) برای بسترهای زبر پیشنهاد شده‌است، شنی و قلوه‌سنگی بودن بستر رودخانه مورد مطالعه و یکسان نبودن قطر ذرات بستر ایجاب می‌کند تا عمق جریان از یک بستر فرضی



شکل‌های بستر گوداب- خیزاب‌های بزرگ‌مقیاس است، مقدار  $B_{R-River}$  در حضور توده‌های گیاهی پراکنده به‌میزان کمتری نسبت به نتایج رینولدز (۱۹۷۴) کاهش یافته‌است.  $B_r$  با تغییرات گرادیان فشار به‌صورت جزئی تغییر می‌کند [21]. حضور شکل‌های بستر سه‌بعدی گوداب و خیزاب و توده‌های نامنظم گیاهی پراکنده در بستر رودخانه منجر به ایجاد غیریکنواختی جریان می‌شود که پی‌آمد آن تفاوت‌های محسوس در تخمین مقدار  $B_r$  است. هم‌چنین مشاهدات نشان می‌دهد که شکل‌های بستر گوداب و خیزاب بر مقدار  $B_{R-River}$  در بازه‌های دارای توده‌های گیاهی پراکنده کاهش بیشتری نسبت به نتایج رینولدز (۱۹۷۴) دارند. کیرنوتو و گراف (۱۹۹۰) مقدار  $B_r = 8.8$  را برای بسترهای شنی تحت شرایط آزمایشگاهی کاملاً کنترل‌شده گزارش کردند [18]. تفاوت نتایج مقدار  $B_r$  در بازه‌های مختلف نسبت به مطالعات پیشین به این دلیل است که محققان قبلی مقدار  $B_r$  را در حالتی تخمین زده‌اند که توزیع مؤلفه‌های سرعت جریان و تانسور تنش به‌صورت هم‌شکل بوده‌است، به‌عبارتی جریان لایه‌مرزی متعادل بوده‌است که تحقق آن در رودخانه‌ها به‌دلیل تغییرات هندسی و هیدرولیکی امکان‌پذیر نیست بنابراین در این پژوهش جریان لایه‌مرزی نامتعادل است.

ضریب  $K$  موسوم به ثابت فون کارمن از طریق مقایسه معادله رگوسیونی که برای محاسبه  $B_{R-River}$  استفاده شده با رابطه (۱) به‌صورت  $K = \alpha u_*$  محاسبه می‌شود که در این رابطه  $u_*$  از روش مشخصات لایه‌مرزی به‌دست می‌آید و  $\alpha$  ضریب رگوسیون است. شکل (۵) تغییرات  $K$  در مقابل نسبت ظرافت ( $B/h_w$ ) در هر بازه را نشان می‌دهد.

باتوجه به شکل (۵) در ورودی بازه اول مقدار ثابت انتگرال  $B_{R-River} = 1.3$  و ثابت فون کارمن  $K = 0.3$  براساس قانون لگاریتمی سرعت تخمین زده شده‌است. برای محاسبه سرعت برشی از روش مشخصات لایه‌مرزی استفاده شده‌است که توسط افضلی و رنیه (۲۰۰۹) برای رودخانه‌های ایران و کانادا به‌کار برده شده‌است. خواننده علاقمند می‌تواند به این مقاله برای جزئیات محاسبه سرعت برشی از روش مشخصات لایه‌مرزی مراجعه کند [19].

جدول (۵) مقادیر متوسط  $B_{R-River}$  محاسبه‌شده در بازه‌های مختلف رودخانه ماربر پادنا و مقدار گزارش شده  $B_{R-Re}$  توسط رینولدز (۱۹۷۴) [20] به‌همراه مقادیر متوسط ثابت جهانی فون کارمن برای ۳۹ نیم‌رخ سرعت در قسمت‌های مختلف هر بازه را نشان می‌دهد.  $RMSD$  به‌صورت رابطه (۶) تعریف می‌شود.

$$RMSD = \sqrt{\frac{\sum_{i=1}^N \sum_{j=1}^N (B_{R-River} - B_{R-Re})^2}{N}} \quad (6)$$

که  $N$  تعداد نیم‌رخ‌های برداشت سرعت در بازه‌های مختلف است.  $RMSD$  میزان انحراف جذر متوسط مقادیر مشاهده‌شده و محاسبه‌شده را نشان می‌دهد. هر اندازه این مقدار بزرگ‌تر باشد، میزان انحراف مقادیر مشاهده‌شده و محاسبه‌شده بیشتر خواهد بود.

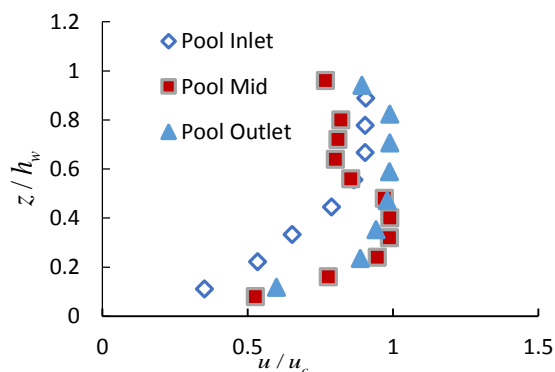
در جدول (۴) مقایسه مقادیر  $B_{R-River}$  بازه دوم و سوم نسبت به بازه اول نشان می‌دهد که حضور توده‌های گیاهی مستغرق در حضور شکل‌های بستر گوداب و خیزاب می‌تواند مقدار  $B_{R-River}$  را به مقدار قابل توجهی کاهش دهد. از طرفی در بازه چهارم زمانی که بستر فاقد

جدول ۵ میزان  $RMSD$  برای بازه‌های مختلف

شماره بازه	$B_{R-Re}$	$B_{R-River}$	$RMSD_{B_r}$	$RMSD_K$	N
۱	۸/۵	۷/۸۷	۴/۷۴	۰/۲۴	۳
۲	۸/۵	۱/۳۷	۸/۳۷	۰/۱۲	۸
۳	۸/۵	۵/۱۴	۴/۶۸	۰/۵۴	۳
۴	۸/۵	۶/۲۸	۶/۹	۰/۴۹	۲۵

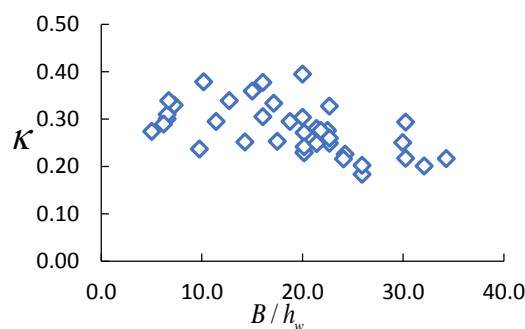


و پدیده فرورفتگی رخ می‌دهد [18]. با مقایسه بازه اول نسبت به بازه دوم و سوم مشاهده می‌شود که اضافه شدن توده‌های گیاهی مستغرق در حضور شکل‌های بستر بزرگ مقیاس گوداب و خیزاب، پارامتر فرورفتگی را افزایش داده‌است. از طرفی با مقایسه سه بازه اول نسبت به بازه چهارم می‌توان نتیجه گرفت که حذف شکل‌های بستر بزرگ مقیاس گوداب و خیزاب باعث افزایش پارامتر فرورفتگی و نزدیک‌تر شدن محل حادث سرعت حداکثر به سطح آب شده‌است. لکشمینارایانا و همکاران (۱۹۸۴) پارامتر فرورفتگی را برای جریان یکنواخت با بستر زبر تا  $0.67h_w$  برای نیم‌رخ‌های محور مرکزی گزارش دادند [22]. هم‌چنین کیرنوتو و گراف (۱۹۹۴) این مقدار را حدود  $0.22h_w$  برای جریان‌های غیریکنواخت ارائه نمودند [18]. در این پژوهش در بازه دوم و سوم مقدار پارامتر فرورفتگی به‌طور متوسط در قسمت‌های مختلف بازه  $0.8h_w$  اندازه‌گیری شده‌است که نسبت به بازه اول حدود ۱۱ درصد افزایش و نسبت به بازه چهارم حدود ۱۲ درصد کاهش داشته‌است. دلیل این نوسانات پارامتر فرورفتگی به تغییرات موضعی ناشی از حضور شکل‌های بستر گوداب و خیزاب، غیریکنواخت بودن ذرات بستر و حضور توده‌های گیاهی پراکنده در بستر رودخانه بستگی دارد. مطالعات نظری براساس معادلات ناویه-استوکس نشان می‌دهد که وقوع پدیده فرورفتگی در جریان‌های غیریکنواخت تندشونده مانند خیزاب‌ها بیشتر از جریان‌های یکنواخت و غیریکنواخت کندشونده (گوداب‌ها) می‌باشد [23].



شکل ۷ وقوع پدیده فرورفتگی جریان در خروجی و وسط گوداب بازه اول

باتوجه به شکل (۶) می‌توان نتیجه گرفت که مقدار  $K$  را به راحتی نمی‌توان مقدار ثابت  $0.4$  در نظر گرفت. مقدار  $K$  در این پژوهش بین  $0.18$  تا  $0.39$  نوسان داشته‌است. این دامنه وسیع تغییرات مقدار  $K$  توسط محققان مختلف در شرایط آزمایشگاهی و صحرایی تأیید شده‌است [13]. یکی از دلایل این تفاوت‌ها حضور شکل‌های بستر گوداب و خیزاب و توده‌های گیاهی پراکنده در بستر می‌باشد.



شکل ۶ تغییرات ثابت جهانی فون کارمن در برابر نسبت ظرافت در بازه‌های مختلف اندازه‌گیری

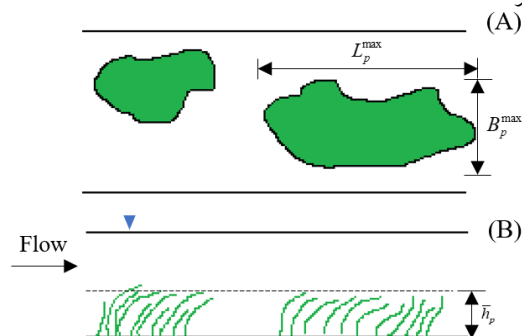
### بررسی محل وقوع سرعت حداکثر

در نسبت‌های ظرافت کوچک (نسبت عرض به عمق کمتر از پنج) به دلیل تأثیر جریان‌های ثانویه بر ساختار جریان، محل وقوع سرعت حداکثر ممکن است تغییر کند [14]. درحالی‌که در نسبت‌های ظرافت بزرگ‌تر از ۵ این تأثیر کمتر مشاهده می‌شود. قرار گرفتن حداکثر سرعت جریان در زیر سطح آب پدیده فرورفتگی (Dip) نامیده می‌شود. پدیده فرورفتگی نسبت عمقی که در آن سرعت حداکثر رخ می‌دهد را به عمق کل جریان نشان می‌دهد. به‌منظور تعیین محل وقوع سرعت حداکثر در بازه‌های مختلف نمودار  $z/h_w$  بر مقابل  $u/u_c$  در هر نیم‌رخ ترسیم شده‌است.

شکل (۷) نمونه‌ای از پدیده فرورفتگی جریان در بازه اول اندازه‌گیری را نشان می‌دهد. محل وقوع پدیده فرورفتگی در وسط و خروجی بازه به ترتیب در  $0.4h_w$  و  $0.8h_w$  حادث شده‌است. کیرنوتو و گراف (۱۹۹۴) برای جریان غیریکنواخت در آزمایشگاه بیان نمودند که در نسبت‌های ظرافت کمتر از پنج جریان سه‌بعدی است

### برآورد مقاومت جریان

هدف از برآورد مقاومت جریان در این پژوهش بررسی ارتباط مقاومت جریان با تأکید بر ضریب‌های مانینگ، شزی، ضریب دارسی- ویسباخ و ضریب دراگ و ابعاد هندسی توده‌های گیاهی مستغرق انعطاف‌پذیر در حضور شکل‌های سه‌بعدی بستر در رودخانه است. بیشتر مطالعات مربوط به مقاومت جریان در شرایط پوشش گیاهی مصنوعی در آزمایشگاه صورت پذیرفته و اثر پوشش گیاهی طبیعی کمتر بررسی شده است [1]. برای نیل به این هدف ۱۰ توده گیاهی مستغرق طبیعی با ابعاد هندسی منطبق با جدول (۴) مورد بررسی قرار گرفته است.



شکل ۸ نمای شماتیک توده‌های گیاهی مستغرق انعطاف‌پذیر (A) نمای پلان، (B) نمای کنار

هم‌چنین ضریب دراگ ( $C_D$ ) محاسبه شده در این پژوهش با استفاده از رابطه (۸) تخمین زده شده است [24].

$$C_D = 2 \frac{u_*^2}{u^2} \quad (۸)$$

به منظور افزایش دقت در برآورد مقاومت جریان از داده‌های صحرائی نیکورا و همکاران (۲۰۰۸) در کنار داده‌های برداشت شده در رودخانه ماربر پادنا استفاده شده است [3]. لازم به ذکر است که اندازه‌گیری سرعت در رودخانه‌های مورد مطالعه این محقق با استفاده از دستگاه سرعت‌سنج صوتی در مقاطع عرضی مختلف که توده‌های گیاهی مستغرق حضور داشته‌اند، صورت گرفته است. محدوده اعداد فرود و عدد رینولدز در بازه‌های مختلف نشان می‌دهد که رژیم جریان غالباً زیر بحرانی و آشفته کاملاً زیر است.

پارامتر فیزیکی اساسی تأثیرگذار بر مقاومت جریان در این پژوهش نسبت انسداد (BF) که به صورت نسبت مساحت جلویی توده گیاهی عمود بر مسیر جریان ( $A_p$ ) به مساحت مقطع عرضی جریان (A) تعریف می‌شود [3]:

$$BF = \frac{A_p}{A} = \frac{W_p^{max}}{h_w \times B} \quad (۹)$$

در این پژوهش ارتباط بین ضرایب دراگ، مانینگ، شزی و دارسی ویسباخ به عنوان ضرایب مقاومت (RC) با نسبت انسداد دارای ضریب همبستگی بزرگ‌تر از ۰/۸ با معادله توانی به شکل معادله (۱۰) است:

$$RC = m \exp(nBF) \quad R^2 \geq 0.8 \quad (۱۰)$$

که  $m$  و  $n$  ضرایب ثابت هستند. نسبت انسداد در مطالعات کوان و همکاران (۱۹۶۹)، واتسون (۱۹۸۷)، بارکی و همکاران (۱۹۹۲)، چمپیون و تتر (۲۰۰۰) و گرین (۲۰۰۵) بالاترین ضریب همبستگی را با کاربرد تابع توانی نشان می‌دهند [3]. شکل‌های (۹) تا (۱۱) ارتباط بین ضرایب مقاومت و نسبت انسداد را با ضریب همبستگی بزرگ‌تر مساوی ۰/۸ نشان می‌دهد.

ارتباط بین ضریب مانینگ، ضریب شزی و نسبت انسداد با نتایج حاصل از گرین (۲۰۰۶) با ضریب

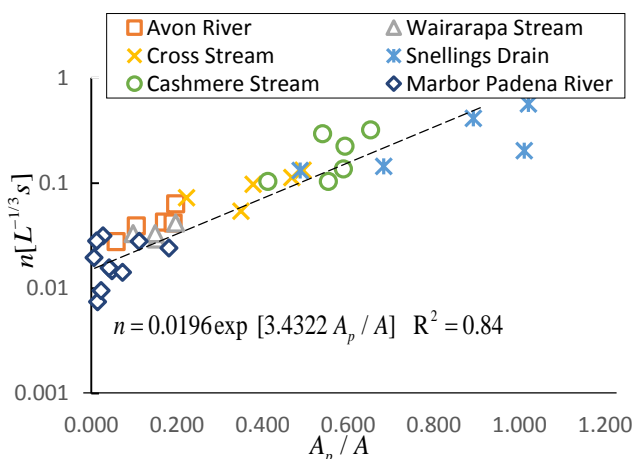
شکل (۸) نمای شماتیک توده‌های گیاهی منطبق بر شکل (۴) در بازه چهارم و سایر بازه‌ها را نشان می‌دهد. قابل ذکر است از آنجایی که اندازه‌گیری ابعاد دقیق توده‌های گیاهی در برخی از قسمت‌ها از جمله بازه دوم که آب عمق زیادی داشت میسر نبود، تنها به اندازه‌گیری حداکثر طول، حداکثر عرض و ارتفاع متوسط توده گیاهی در تمامی بازه‌ها اکتفا شده است. آنالیزهای مربوط به مقاومت جریان با استفاده از ضریب مانینگ ( $n$ )، ضریب شزی (C) و ضریب دارسی ویسباخ (f) برای کانال مستطیلی عریض در این پژوهش صورت گرفته است [3]:

$$\frac{u}{u_*} = \sqrt{\frac{g}{f}}, C = \frac{u}{(h_w S_f)^{1/2}}, n = \frac{h_w^{1/6}}{C} \quad (۷)$$

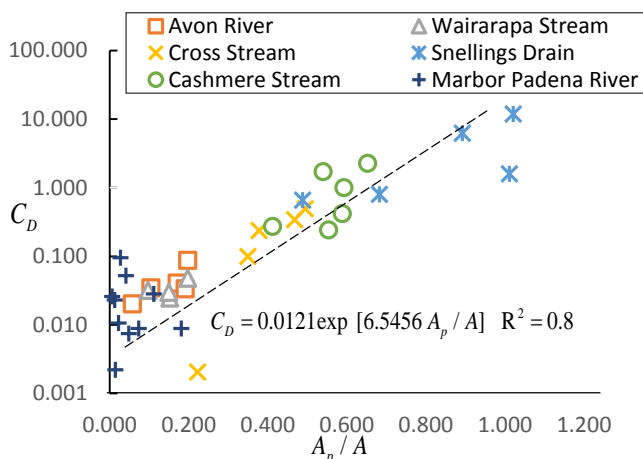
توده های گیاهی به طور خاص در بازه چهارم و دوم همانند مانعی در برابر جریان عمل کرده و باعث افزایش نیروی مالشی وارد بر جریان، کاهش سرعت جریان، افزایش سرعت برشی و به دنبال آن افزایش مقاومت جریان شده است.

همان گونه که در شکل های (۹)، (۱۰) و (۱۲) مشاهده می شود، افزایش نسبت انسداد (حضور مانع در برابر جریان) باعث افزایش ضریب دراگ، ضریب مانینگ و افزایش سرعت برشی جریان گردیده است. افزایش سرعت برشی به معنای افزایش ضریب داریسی و یسباخ و به دنبال آن، افزایش مقاومت جریان است.

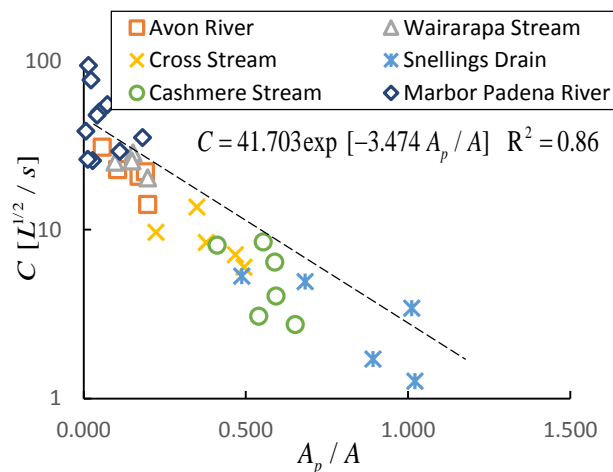
همبستگی ۰/۷۴ و نتایج نیکورا (۲۰۰۸) با ضریب همبستگی ۰/۸۹ در یک مطالعه صحرایی مقاومت جریان مشاهده شده است [25]. در تمامی نمودارها ارتباط بین ضرایب مقاومت جریان با نسبت انسداد به صورت نمایی با ضریب همبستگی بزرگتر مساوی ۰/۸ تغییر کرده است. این ارتباط غیرخطی می تواند نشئت گرفته از حضور شکل های سه بعدی گوداب و خیزاب، غیریکنواخت بودن ذرات بستر (ضریب یکنواختی بزرگتر از ۴ در اطراف توده های گیاهی) و پراکنندگی توده های گیاهی در بستر باشد. در واقع حضور شکل های سه بعدی بستر گوداب و خیزاب و پراکنندگی



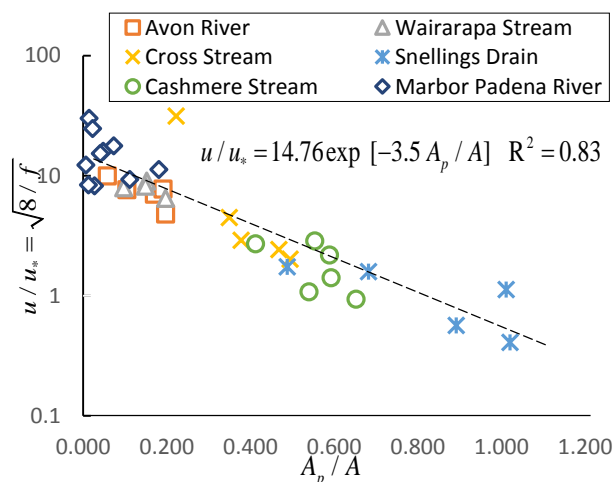
شکل ۹ ارتباط بین ضریب مانینگ و نسبت انسداد



شکل ۱۰ ارتباط بین ضریب دراگ و نسبت انسداد



شکل ۱۱ ارتباط بین ضریب شزی و نسبت انسداد



شکل ۱۲ ارتباط بین ضریب دارسی ویسیاخ و نسبت انسداد

می‌شود. بنابراین از دیدگاه انتقال جریان حضور توده‌های گیاهی پراکنده در مسیر جریان باعث کاهش ضریب شزی می‌شود. مقایسه مقدار متوسط ضریب شزی در بازه اول نسبت به بازه دوم و سوم نشان می‌دهد که حضور توده‌های مستغرق گیاهی در بستر می‌تواند انتقال جریان را به‌طور متوسط تا ۱۸ درصد کاهش دهد. به‌نظر می‌رسد که در حضور شکل‌های سه‌بعدی بستر در رودخانه‌های شنی که توده‌های گیاهی به‌صورت پراکنده در بستر رودخانه قرار گرفته‌اند، ضریب شزی با ضریب هم‌بستگی نسبتاً بالا در مقایسه با سایر ضرایب مقاومت می‌تواند نماینده مناسبی برای مقاومت جریان در رودخانه مورد مطالعه باشد.

نیروی مالشی نیرویی مساوی و مختلف جهت نیروی دراگ (نیروی وارد از سمت آب به بستر) است که از طرف بستر به جریان وارد می‌شود. مقایسه مقدار متوسط ضریب دراگ در بازه اول نسبت به بازه دوم و سوم نشان می‌دهد که اضافه شدن توده‌های گیاهی مستغرق در حضور شکل‌های بزرگ مقیاس گوداب و خیزاب می‌تواند تقریباً تا ۴۰ درصد مقاومت جریان را افزایش دهد.

در شکل (۱۱) بر خلاف ضریب دراگ و ضریب مانینگ، افزایش نسبت انسداد باعث کاهش ضریب شزی شده‌است. حضور هر نوع مانعی در مسیر جریان باعث کاهش انتقال جریان و به‌دنبال آن کاهش ضریب شزی

### نتیجه گیری

در این پژوهش نیم رخ سرعت در بازه های مختلف یک رودخانه درشت دانه شنی قلوه سنگی در حضور شکل بسترهای سه بعدی گوداب و خیزاب و توده های گیاهی پراکنده مستغرق طبیعی مورد بررسی و آنالیز قرار گرفت. هم چنین روابطی نمایی به صورت تابعی از نسبت انسداد برای برآورد مقاومت جریان پیشنهاد شد. نتایج حاصل از این پژوهش نشان می دهد که حضور توده های گیاهی مستغرق روی شکل های بستر گوداب و خیزاب می تواند جملات توزیع جهانی سرعت شامل سرعت جریان، سرعت برشی، مقدار ثابت ون کارمن و مقدار ثابت  $B_T$  را به طور قابل توجهی تغییر دهد که پی آمد آن برآورد متفاوت مقاومت جریان است.

مقدار ثابت فون کارمن  $K$  توسط پوشش گیاهی و شکل های بستر تغییر کرده است و نمی تواند معادل  $0/4$  در نظر گرفته شود. مقدار  $K$  در این پژوهش بین  $0/18$  تا  $0/39$  نوسان داشته است. بر این اساس حضور شکل های بستر گوداب و خیزاب و توده های گیاهی پراکنده انعطاف پذیر در بستر رودخانه مقدار  $K$  را کاهش می

دهد.

مقدار پارامتر فرورفتگی به طور متوسط در قسمت های مختلف بازه دوم  $0.8h_w$  اندازه گیری شده که نسبت به بازه اول حدود ۱۱ درصد افزایش و نسبت به بازه چهارم حدود ۱۲ درصد کاهش داشته است. دلیل این نوسانات پارامتر فرورفتگی را می توان به ناپایداری های ناشی از حضور شکل های بستر گوداب و خیزاب، غیریکنواخت بودن ذرات بستر و حضور توده های گیاهی پراکنده در بستر رودخانه ارتباط داد.

ارتباط بین ضریب مقاومت جریان با نسبت انسداد به صورت نمایی با ضریب هم بستگی معادل  $0/8$  محاسبه شد. این ارتباط غیرخطی می تواند نشئت گرفته از حضور شکل های سه بعدی گوداب و خیزاب، غیریکنواخت بودن ذرات بستر (ضریب یکنواختی بزرگ تر از ۴ در اطراف توده های گیاهی) و پراکندگی توده های گیاهی در بستر باشد. ضریب شزی با ضریب هم بستگی نسبتا بالا در مقایسه با سایر ضرایب مقاومت می تواند نماینده مناسبی برای مقاومت جریان در رودخانه شنی قلوه سنگی مورد مطالعه باشد.

### مراجع

1. Yen, B.C., "Open Channel Flow Resistance", *Journal of hydraulic engineering*, Vol. 128(1), pp. 20-39, (2002).
2. Afzalimehr, H., Riazi, P., Jahadi, M., Singh, V.P., "Effect of Vegetation Patches on Flow Structures and the Estimation of Friction Factor", *ISH Journal of Hydraulic Engineering*:019, Vol. 27, pp. 1-11, (2019).
3. Nikora, V., Larned, S., Nikora, N., Debnath, K., Cooper, G., Reid, M., "Hydraulic Resistance due to Aquatic Vegetation in Small Streams: Field Study", *Journal of hydraulic engineering*, Vol. 134(9), pp. 1326-1332, (2008).
4. Afzalimehr, H., Moghbel, R., Gallichand, J., Jueyi, S.U., "Investigation of Turbulence Characteristics in Channel with Dense Vegetation", *International Journal of Sediment Research*, Vol. 26(3), pp. 269-282, (2011).
5. Nikora, V., Larned, S., Debnath, K., Cooper, G., Reid, M., Nikora, N., "Effects of Aquatic and Bank-side Vegetation on Hydraulic Performance of Small Streams", in *River Flow: Proceedings of the*

- International Conference on Fluvial Hydraulics*, Lisbon, Portugal, 6-8 September 2006. 2006. Taylor & Francis, Vol. 1, pp. 639-646,(2006).
6. Kouwen, N., Unny, T. and Hill, H.M., "Flow Retardance in Vegetated Channels", *Journal of the Irrigation and Drainage Division*, Vol. 95(2), pp. 329-342, (1969).
  7. Wang, P. f., Wang, C. and Zhu, D.Z., "Hydraulic Resistance of Submerged Vegetation Related to Effective Height", *Journal of Hydrodynamics*, Vol. 22(2), pp. 265-273, (2010).
  8. Li, S., Shi, H., Xiong, Z., Huai, W., Cheng, N., "New Formulation for the Effective Relative Roughness Height of Open Channel Flows with Submerged Vegetation, *Advances in Water Resources*", Vol. 86, pp. 46-57, (2015).
  9. Fazlollahi, A., Afzalimehr, H. and Sui, J., "Effect of Slope Angle of an Artificial Pool on Distributions of Turbulence", *International Journal of Sediment Research*, Vol. 3(2) ,pp. 93-99, ( 2015).
  10. Afzalimehr, H., Maddahi, M.R., Sui, J., Rahimpour, M., "Impacts of Vegetation over Bedforms on Flow Characteristics in Gravel-bed Rivers", *Journal of Hydrodynamics*, Vol. 31(5), pp. 986-998, (2019).
  11. Jahadi, M., Afzalimehr, H. and Rowinski, P.M., "Flow Structure within a Vegetation Patch in a Gravel-Bed River", *Journal of Hydrology and Hydromechanics*, Vol. 67(2), pp. 154-162, (2019).
  12. Wolman, M.G., A Method of Sampling Coarse River- bed Material, EOS, "Transactions American Geophysical Union", Vol. 35(6), pp. 951-956, (1954).
  13. Maddahi, M.R., Afzalimehr, H. and Rowinski, P.M., "Flow Characteristics over a Gravel Bedform: Kaj River case study, *Acta Geophysica*", Vol. 64(5), pp. 1779-1796, (2016).
  14. Afzalimehr, H., Barahimi, M. and Sui, J., "Non-uniform Flow over Ccobble Bed with Submerged Vegetation Strip", in *Proceedings of the Institution of Civil Engineers-Water Management*. Thomas Telford Ltd.(2019)
  15. Afzalimehr, H., Anctil, F., "Velocity Distribution and Shear Velocity Behaviour of Decelerating Flows over a Gravel Bed", *Canadian Journal of Civil Engineering*, Vol. 26(4), pp. 468-475, (1999).
  16. Afzalimehr, H. and Anctil, F., "Accelerating Shear Velocity in Gravel-bed Channels", *Hydrological sciences journal*, Vol. 45(1), pp. 113-124, (2000).
  17. Hinze, J.O., *Turbulence* (McGraw-Hill Series in Mechanical Engineering), McGraw-Hill College, (1975).
  18. Kironoto, B., Graf, W. H., and Rreynolds, "Turbulence Characteristics in Rough Uniform Open-channel Flow", *Proceedings of the Institution of Civil Engineers-Water Maritime and Energy*, Vol. 106(4), pp. 333-344, ( 1994).
  19. Afzalimehr, H. and Rennie, C.D., "Determination of Bed Shear Stress in Gravel-bed Rivers Using Boundary-layer Parameters", *Hydrological sciences journal*, Vol. 54(1), pp. 147-159, (2009).

20. Hinze, J., Turbulence 2<sup>nd</sup> edition, MacGraw Hill, New-York, (1975)
21. Coleman, H. W., Moffat, R. J., and Kays, W.M., "The Accelerated Fully Rough Turbulent Boundary Layer", *Journal of Fluid Mechanics*, Vol. 82(3), pp. 507-528, (1977).
22. Bassey, O. B., and Agunwamba, J., "Derived Models for the Prediction of Cole's and Dip Parameters for Velocity Gradients Determination in Open Natural Channels", (1998).
23. Afzalimehr, H., Mohammadzade, N., and Singh, V. P., "Experimental Investigation of Influence of Vegetation on Flow Turbulence", (2015).
24. Afzalimehr, H., Heidarpour, M., and Farshi, S., "Resistance to Flow in Gravel-bed Rivers", *Isfahan University of Technology-Journal of Crop Production and Processing*, Vol. 7(1), pp. 19-31, (2003).
25. Green, J. C., "Comparison of Blockage Factors in Modelling the Resistance of Channels Containing Submerged Macrophytes", *River research and applications*, Vol. (6)21, pp. 671-686, (2005).



